

Moleküle

Natur: Bildung von Molekülen aus Atomen

z.B. NaCl , H_2 , N_2 , CO_2 , ...

ohne Quantentheorie kaum zu erklären

Hier: Grundideen der Quantentheorie der chemischen Bindung

(da meist die Wechselwirkung mehrerer Teilchen zu Brüderlichkeit ist, was nicht geschlossen analytisch möglich ist, haben Physik / Chemie auch heute diese Fragestellung nicht vollständig gelöst)

- Einleitung, Separation der Energieskalen (Elektronisch, Vibration, Rotation)
- Born-Oppenheimer Methode / Näherung
- H_2^+ Molekülion
 - linear combination of Atomic Orbitals (LCAO)
 - verbesserte LCAO Ansatz (Variationsmethode)
- H_2 Molekül
 - LCAO (Hund-Mulliken Ansatz)
 - Heitler-London Näherung
 - verbesserte Näherung (Variationsmethode)
- Symmetrien und Quantenzahlen in Molekülen
- Einfache kovalente Moleküle
 - Elektron Paarung, Kovalente Bindung
 - Ausgerichtete Orbitale, σ und π Bindung
 - Hybridisierung
 - Kohlenwasserstoffe
 - Wasserschliffbrücke
- Bindungstypen
 - kovalent
 - ionisch
 - Van-der-Waals Bindung
 - Wasserschliffbrücken
- Rotation und Schwingung zweiatomiger Moleküle
 - starker Polarisator
 - Zentriperfugal aufweitung
 - Einfluss des Elektronen Drehimpuls und Spin
 - Schwingung zweiatomiger Moleküle
 - Schwingungs-Rotations Wechselwirkung
- Spektroskopische Molekülübergänge
 - Schwingungs-Rotations Übergänge
 - Auswahlregeln

Moleküle: Einführung

$$\left. \begin{array}{l} M_e = 9.1 \cdot 10^{-31} \text{ kg} \\ m_p = 1.67 \cdot 10^{-27} \text{ kg} \sim m_N \end{array} \right\} \frac{m_p}{M_e} = 1835$$

Moleküle: $\frac{M}{m} \sim 10^4 - 10^5$ (1)

^{Massen Kern}
 m
 1 Proton e^-

Kerne im Molekül oscillieren „langsam“ oder „schwach“ um relativ stabile Gleichgewichtspositionen, während die Elektronen sich „schnell“ im elektrischen Coulomb potential der Kerne bewegen.

(Null-Punkts Schwankungen obr Kerne klein im Vergleich zu Elektronen)

Molekül habe Größe a : Elektronen \rightarrow typischer impuls $t\bar{h}/a$ (Kuschöök Relation)

$$\rightarrow \text{elektronische Zustände} \sim \boxed{\frac{t\bar{h}^2}{ma^2} = E_{\text{electron}}} \quad (2)$$

$(\sim \text{eV, wie oben})$

Kerne: Elektronen erscheinen als verschwierig Wolke

Falls Kerne sich leicht bewegen \rightarrow kleine Störung der Elektronen Wellenfunktion

\rightarrow kleine Änderung ihrer elektronischen Energie

\rightarrow Kerne bewegen sich auf zu Positionen hin, in denen die elektronische Energie minimal ist.

(Kerne im „elektrischen, elektronischen“ Medium)

\rightarrow Kerne oscillieren im Minimum der (totalen) Energie

(abstörende Coulomb Wechselwirkung zwischen Kernen)

Minimas: gut angenähert durch quadratische Funktion \rightarrow harmonischer Osz.

$$\sim M\omega^2 R^2 \quad R: \text{Kern-Auslenkung aus Gleichgewicht}$$

Abschätzung: R Auslenkung, Kern $\sim a$ ($=$ Größe Molekül)

$\hat{=} \sim$ elektronische Anregungs Energie $t\bar{h}^2/ma^2$

$$\rightarrow M\omega^2 a^2 \sim t\bar{h}^2/ma^2$$

$$(3) \quad \text{vibrations Energie} \rightarrow \hbar\omega \sim \sqrt{\frac{m}{M}} \frac{t\bar{h}^2}{ma^2} = \boxed{\sqrt{\frac{m}{M}} E_{\text{elect}} = E_{\text{vib}}} \quad (4) \quad (\sim 10^{-2} \text{ bis } 10^{-1} \text{ eV})$$

$$\text{typische Kern Auslenkung: } M\omega^2 s^2 \sim \hbar\omega \quad \left(s^2 \sim \frac{\hbar\omega}{M\omega^2} \right)$$

$$\rightarrow \left(\frac{s}{a}\right)^2 \sim \frac{\hbar\omega}{M\omega^2 a^2} = \frac{E_{\text{vib}}}{E_{\text{elec}}} \sim \sqrt{\frac{m}{M}} \quad (5)$$

$$\rightarrow \left(\frac{s}{a}\right) \sim \left(\frac{m}{M}\right)^{1/4} \sim \frac{1}{10}$$

Kerne: Rotation: relative kleine Energie, da nur wenig interne Deformierung des Moleküls (starrer Rotator)

für Drehimpuls $\tau \ell$: $E_{\text{ROT}} \sim \frac{\hbar^2 \ell (\ell + 1)}{2M}$ (6)

↑
Trägheitsmoment des Moleküls

$$M = Ma^2$$

$$\rightarrow E_{\text{ROT}} \sim \frac{\hbar^2}{Ma^2} = \frac{m}{M} \frac{\hbar^2}{ma^2} = \left(\frac{m}{M}\right) E_{\text{Electron}}$$

Allgemeiner Zustand eines Moleküls: Kombination von elektronischen, vibrationalen und rotatorischen Anregungen

$$E = E_{\text{elec.}} + E_{\text{vib.}} + E_{\text{rot.}} \quad (7)$$

mit relativen Größen:

$$E_{\text{elec.}} : E_{\text{vib.}} : E_{\text{rot.}} = 1 : \sqrt{\frac{m}{M}} : \frac{m}{M} \quad (8)$$

Born - Oppenheimer Methode

(auch „adiabatische Methode“ genannt)

(Herleitung des eben erläuterten Modells aus Schrödinger-Gleichung)
→ abstoßende Coulomb WW zw. Elektoren

$$H = T_e + T_N + V_{ee} + V_{eN} + V_{NN} \rightarrow \text{abstoßende Coulomb WW zw. Kernen} \quad (9)$$

$$\sum_i \frac{p_i^2}{2m} + \sum_x \frac{p_x^2}{2M_x} \quad \downarrow \text{anziehende Coulomb WW zw. Elektron + Kernen} \quad (10)$$

Idee: $\frac{1}{M}$ kinetische Kern-Energie: klein, behandle als Störung
kleiner Parameter: $\left(\frac{\epsilon}{a}\right) = \frac{\text{Austlenzung Kerne}}{\text{Austlenzung } e^-} \sim \left(\frac{m}{M}\right)^{1/4}$ (genau (5))

Zuerst vernachlässige $T_N \rightarrow$ Kern Positionen, kollektiv mit R bezeichnet, sind dann keine dynamischen Variablen mehr in H , sondern nur Parameter
Operatoren Zahlen

Schrödinger Gleichung:

$$\{T_e + V_{ee}(r) + V_{en}(r, R)\} \psi_n(r, R) = [\varepsilon_n(R) - V_{NN}(R)] \psi_n(r, R) \quad (12)$$

kollektive Koordinaten der Elektronen

$$\varepsilon_n = \varepsilon_n(R) \quad \text{Eigenwert, elektronische Energie (inkl. } V_{NN}(R))$$

↑ hängt von R ab, da die Kern Positionen R im Potential auftauchen

Lösungen von (12): vollständige (orthonormale) Basis

↳ jede Funktion kann in dieser Basis entwickelt werden

$$(13) \quad \Psi(r, R) = \sum_n \Phi_n(R) \psi_n(r, R) \quad : \quad \begin{array}{l} \text{Entwicklung der } r\text{-Abhängigkeit} \\ \text{der wirklichen Wellenfunktion } \Psi(r, R) \\ \text{des Moleküls, inkl. Kern Bewegung} \end{array} \quad (13)$$

↑
Entwicklungscoeffizienten, hängen von R ab.

$$H \Psi(r, R) = (T_e + T_N + V_{ee} + V_{en} + V_{NN}) \Psi(r, R) = E \Psi(r, R) \quad (14)$$

Einsetzen von (13) in (14), verwenden von (12), multiplizieren von links mit $\psi_m^*(r, R)$, integrieren über alle Elektronen Positionen r , verwenden der Orthogonalität der ψ_m ($\langle \psi_n | \psi_m \rangle = \delta_{nm}$), verwenden den $T_N \propto \nabla^2$, $\nabla^2(\Psi \varphi) = \varphi (\nabla^2 \Psi) + 2(\nabla \Psi) \cdot (\nabla \varphi) + \Psi \nabla^2 \varphi$, und auch Abschätzung, dass die Plausitome $\psi_m^* \psi_n$ vernachlässigbar klein sind, dann folgt (Übung 5, Aufgabe 1)

$$\{T_N + \varepsilon_n(R)\} \Phi_n(R) = E \Phi_n(R) \quad (15)$$

Schrödinger Gleichung für $\Phi_n(R)$: die Amplitude, dass die Kerne den Abstand R haben, gegeben dass die Elektronen im Zustand ψ_n sind.

$\varepsilon_n(R)$ spielt dabei die Rolle eines effektiven Potentials (welches auch V_{en} einschließt) für die Kernbewegung, d.h. die Elektronen „ziehen“ oder „halten“ die Kerne zusammen mit einer „Kraftkonstante“ oder „Federkonstante“ $\varepsilon_n(R)$, die vom Zustand n der Elektronen abhängt.

In dieser Näherung erzeugt also die Kerdynamik keine Wechselwirkung der elektronischen Zustände, und es gibt nur einen Term in der Summe (13), d.h.

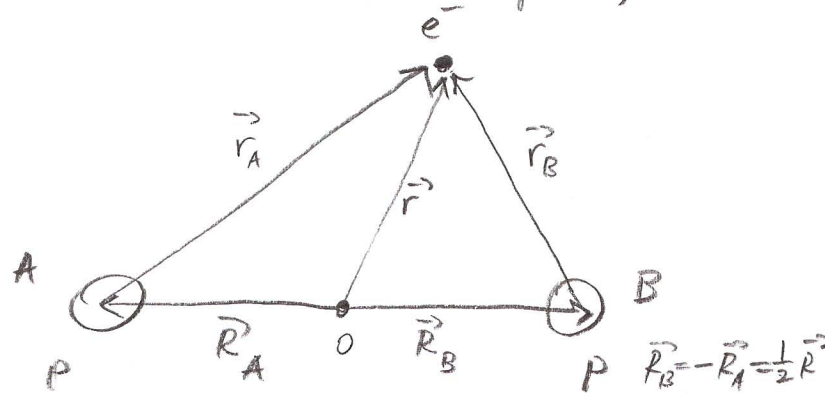
$$\Psi_{nn}(r, R) = \Phi_{nn}(R) \psi_n(r, R) \quad (20)$$

wobei der Index n die Formen von (15) zählt. Die dazugehörigen Energien E_n repräsentieren die gesamte Energie des Moleküls, unabhängig von allen Koordinaten. 30

Gebundene Zustände: die potentielle Energie $\epsilon_n(R)$ hat (mindestens) ein Minimum als Funktion von R . Die Werte R_0 , bei denen $\epsilon_n(R_0)$ minimal ist, sind die stabilen Gleichgewichtszustände des Moleküls.

Diese Minima sind nicht eindeutig, da Translationen des gesamten Moleküls oder Rotationen des gesamten Moleküls um seinen Schwerpunkt $\epsilon_n(R)$ nicht beeinflussen.

Vibrationen Entwicklung von $\epsilon_n(R)$ um Minimum R_0 (quadratisch \rightarrow harm. oszillator)



Das H_2^+ -Molekülion

H_2^+ : 2 Protonen + 1 Elektron

(das einfachste aller Moleküle)

Genau wie Born-Oppenheimer Näherung vernachlässigen wir die kinetische Energie der Kerne, (und auch die Spin-Bahn Wechselwirkung)

$$H = -\frac{\hbar^2 \nabla^2}{2m} - \frac{e^2}{4\pi\epsilon_0} \left(\frac{1}{|\vec{r}_A|} + \frac{1}{|\vec{r}_B|} - \underbrace{\frac{1}{|\vec{r}_A - \vec{r}_B|}}_R \right) \quad (21)$$

Zur approximativen Lösung verwenden wir die Variationsmethode:

Ausatz: Überlagerung $\psi(\vec{r}) = \alpha \psi_A(\vec{r}) + \beta \psi_B(\vec{r})$ Test-wellenfunktion (22)
 „LCAO“ linear comb. Atomic orbitals

mit $\psi_A(\vec{r})$: Wasserstoff Grundzustand (1s) von Proton A, dito für ψ_B von Proton B

$$\psi_A(\vec{r}) = (\pi a_0^3)^{-1/2} e^{-r/a_0} \quad (23) \quad \text{(ungestört)}$$

d.h. in diesem Ausatz bauen wir das H_2^+ Molekül aus den 1H -Atom Orbitale auf. Über $\vec{r}_A = \vec{r} - \vec{R}_A = r + \frac{1}{2}\vec{R}$ hängt ψ_A von R ab, dito ψ_B .

Variationsprinzip:

$$E_{\text{test}} = E_{\text{test}}(R) = \langle \psi_{\text{test}} | H | \psi_{\text{test}} \rangle \geq \langle \psi_{\text{exact}} | H | \psi_{\text{exact}} \rangle = E_{\text{exact}}$$

$$\rightarrow E_{\text{test}} \geq E_{\text{exact}} \quad \text{minimiere } E_{\text{test}}(R) \text{ als fkt. von } R,$$

so dass man möglichst nahe an E_{exact} kommt.

Bestimmung der Koeffizienten α, β : Molekül ist symmetrisch 31

um den Mittelpunkt O \rightarrow Elektronen Zustände haben Parität unter Reflexion an der Ebene vertikal auf die Achse zw. den Pöden durch den Nullpunkt. $\Rightarrow \alpha \psi_A + \beta \psi_B \rightarrow \alpha \psi_B + \beta \psi_A$

$$\begin{aligned} \rightarrow \beta &= \alpha \quad \text{gerade Parität} \quad (4 \rightarrow +4) \\ \beta &= -\alpha \quad \text{ungerade Parität} \quad (4 \rightarrow -4) \end{aligned}$$

und wir setzen $\psi_{\pm}(r) = C_{\pm}(\psi_A(r) \pm \psi_B(r))$ (24)

$$\langle \psi_{\pm} | \psi_{\pm} \rangle = 1 = C_{\pm}^2 (1 + 1 + 2 S(R)) \quad (25)$$

d.h. $C_{\pm} = \frac{1}{\sqrt{2 \pm 2S(R)}}$

$$S(R) = \text{Überlapp. Integral} = \int d^3r \underbrace{\psi_A^*(r)}_{= \psi_A(r)} \psi_B(r) \stackrel{\text{Überlapp.}}{=} \left(1 + \frac{R}{a_0} + \frac{R^2}{3a_0^2}\right) e^{-R/a_0} \quad (26)$$

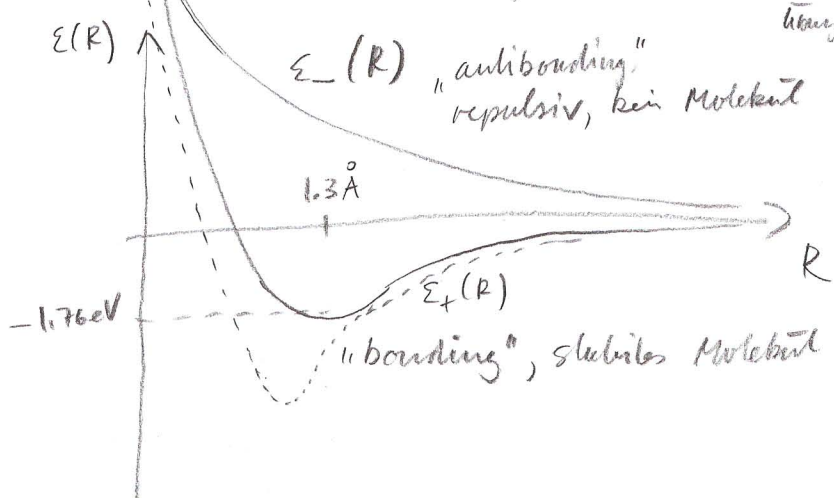
(diese At. Integral löst man aus einfacher in elliptischen Koordinaten:

$$(27) \quad \begin{cases} \mu = \frac{r_A + r_B}{R} \\ \nu = \frac{r_A - r_B}{R} \end{cases} \quad \int d^3r f(r) = \int_1^{\infty} d\mu \int_{-1}^1 d\nu \int_0^{\pi} dp \frac{k^3}{8} (\mu^2 - \nu^2) f(\mu, \nu, \varphi) \quad (28)$$

$$\begin{aligned} \text{Energieerwartungswert: } \langle H \rangle_{\pm} &= \langle \psi_{\pm} | H | \psi_{\pm} \rangle = \varepsilon_{\pm}(R) \\ &= \frac{\langle A | H | A \rangle + \langle B | H | B \rangle \pm 2 \langle A | H | B \rangle}{2 \pm 2S} \quad (\langle A | H | A \rangle = \langle B | H | B \rangle) \\ (29) \quad &= \frac{\langle A | H | A \rangle \pm \langle A | H | B \rangle}{1 \pm S} \quad \underbrace{\int d^3r \psi_A^2(r) \frac{e^2}{r_B}}_{\text{Coulomb Integral}} \end{aligned}$$

$$\text{mit } \langle A | H | A \rangle = \int d^3r \psi_A^*(r) H \psi_A(r) \stackrel{\text{Überlapp.}}{=} -Ry + \frac{e^2}{4\pi\varepsilon_0 R} \left(1 + \frac{R}{a_0}\right) e^{-2R/a_0} \quad (30)$$

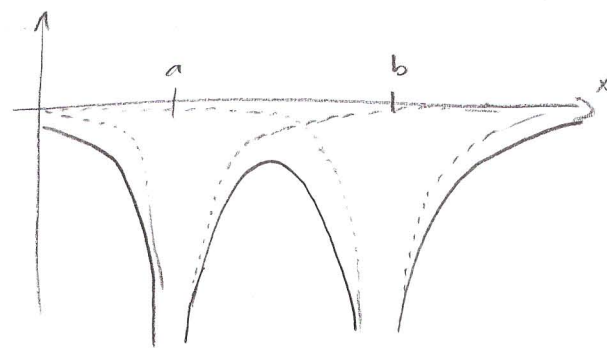
$$\langle A | H | B \rangle = \int d^3r \psi_A^*(r) H \psi_B(r) \stackrel{\text{Überlapp.}}{=} \left(-Ry + \frac{e^2}{4\pi\varepsilon_0 R}\right) S - \underbrace{\int d^3r \psi_A(r) \psi_B(r) \frac{e^2}{r_B}}_{\text{Austausch Integral}}$$



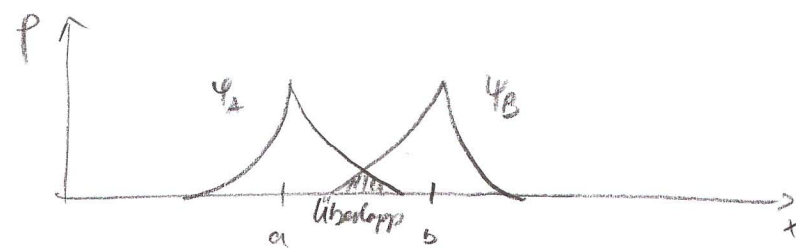
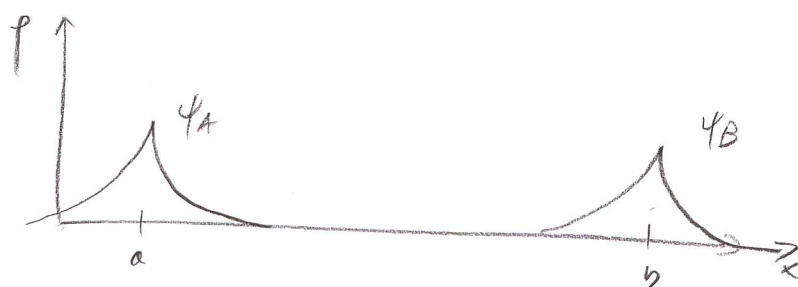
(Experimentell: $R_0 \approx 1.06 \text{ \AA}$)
 ψ_+ : bonding orbital $E_b \approx -2.8 \text{ eV}$
 ψ_- : antibonding orbital

zur Veranschaulichung:

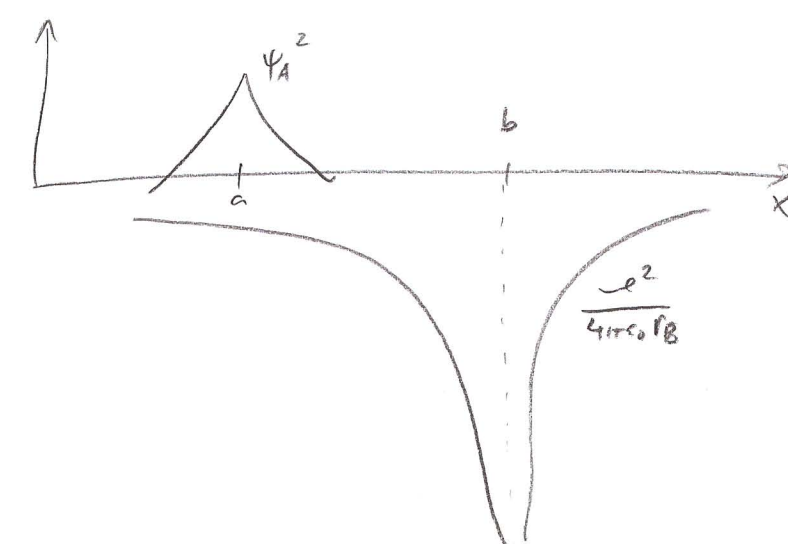
Kernpotentiale



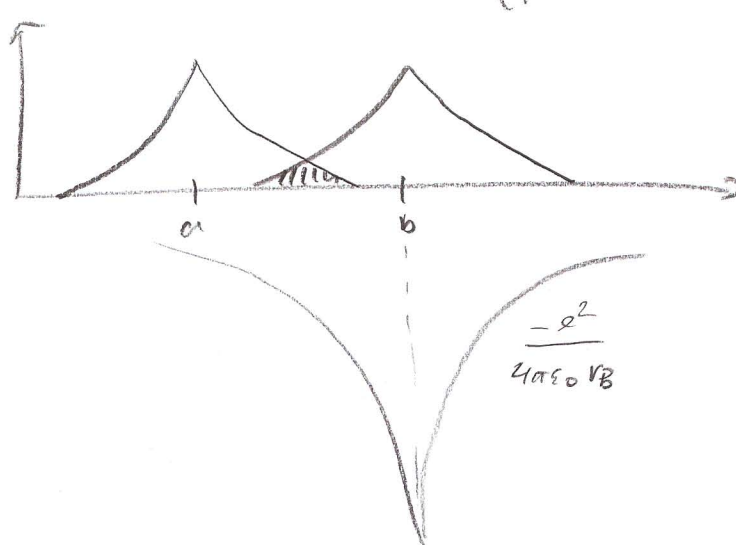
Wellenfunktionen



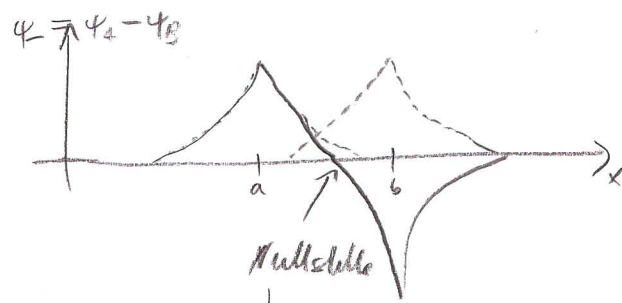
Coulomb Integral



Austausch Integral

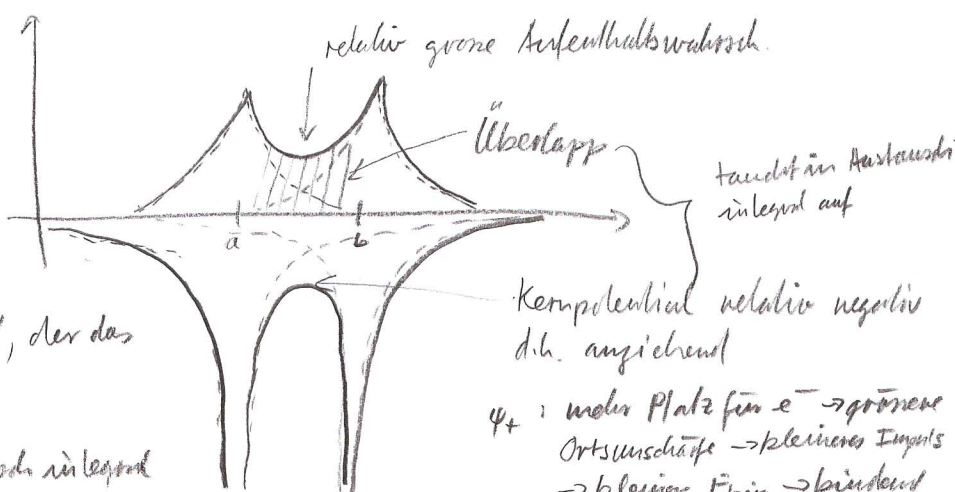


ψ_- anti bonding orbital:



→ kleine Aufenthaltswahrscheinlichkeit

ψ_+ bonding orbital:



ψ_+ : Electron bildet den „Leim“, der das Moleköl zusammenhält

bestimmt durch das Austausch integral und Austausch dichte $\varphi_A \varphi_B$ (Überlapp)

→ quantenmechanischer Effekt. (e^- sowohl auf A wie auch auf B)

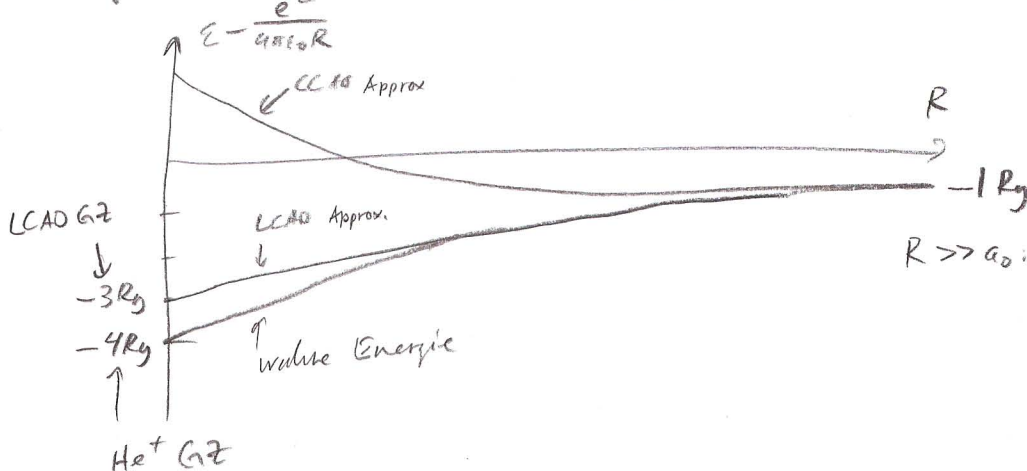
$R \gg a_0$ ψ_+ sehr ähnlich zur wahren Wellenfunktion

$R \ll a_0$ wahr. Wellenfunktion: 1s Zustand des He^+ Ions.

aber, für $R \rightarrow 0$: ψ_+ H-Atom 1s Zustand

→ ψ_+ ungünstig für $R \rightarrow 0$ → geschätzte Bindungsenergie kleiner als wahr. (und größerer GRW Abstand als wahr.)

dazu: behandelte $\varepsilon(R) - \frac{e^2}{4\pi\epsilon_0 R}$ = elektronischer Teil der Energie



$R \gg a_0$: H-Atome + proton, sowohl geschätzte $\varepsilon_+ - e^2/k$ als auch wahr. Energie = -1 Ry

Verkürzter Ansatz

$$\psi_A = C(1 + \gamma z) e^{-\eta(R)r_A/a_0}$$

↑ z-Koordinale entlang Achse zw. Protonen
Variationsparameter

$\lambda, \gamma(R)$: Parameter, optimieren, so dass $\varepsilon_+(R)$ minimal wird.

- Wechselwirkung zw. Elektron und Protonen: Ladung verteilt nicht mehr kugelsymmetrisch, sondern in z-Richtung verformt.
- und radiale Wahrscheinlichkeitsverteilung von $|\phi_{A,B}(r_{H,D})|^2$ des Elektrons hängt vom Kernabstand R ab: $\eta(R)$; $\eta > 1$: Kontraktion der atomaren Orbitale \rightarrow Erniedrigung der Potentiellen Energie
- Kinetische Energie: Kontraktion der Orbitale \rightarrow weniger Platz \rightarrow mehr kinetische Energie (azimutal, ungekennzeichnet z). Minima: optimum in Bezug auf potentielle und kinetische Energie.

$$\begin{aligned} \langle E_{\text{kin}}^{\perp} \rangle &= \frac{1}{2} m v_1^2 && \text{senkrecht zur z-Achse} \\ \langle E_{\text{kin}}^z \rangle &= \frac{1}{2} m v_z^2 && \text{entlang z-Achse} \end{aligned}$$

Methodik	$\langle E_{\text{kin}}^{\perp} \rangle$	$\langle E_{\text{kin}}^z \rangle$	$\overline{E_{\text{kin}}}$	E_{pot}	E	alle Energien in Ry = 13.6 eV
LCAO	0.60	0.18	0.78	-1.9	-1.12	
LCAO ($\gamma = 1.25$)	0.92	0.28	1.20	-2.4	-1.20	
exakt	0.95	0.30	1.25	-2.5	-1.25	
$H + H^+$ ($R = \infty$)	0.67	0.33	1.00	-2.0	-1.0	

Wellenfunktion	$\Sigma_+(R_{\min}) [\text{eV}]$	R/a_0
LCAO	1.76	2.5
LCAO $\gamma \neq 0, \lambda \neq 0$	2.25	2.0
LCAO $\gamma \neq 0, \lambda \neq 0$	2.65	2.0
exakt	2.79	2.0